

2. Ein exemplarischer Ansatz: Realm-basierte räumliche Datentypen [nach Schneider/Güting]

Definition: Ein **Realm** $R = (P, S)$ in einem Gitter $N \times N$ ¹:

$N := \{0, \dots, n\}$, n finite and representable

$P_N := N \times N$ **N -points** (grid)

$S_N := P_N \times P_N$ **N -segments**

$P \subseteq P_N$ **R -points**

$S \subseteq S_N$ **R -segments**

Properties

(i) $\forall s \in S : s = (p, q) \Rightarrow p \in P \wedge q \in P$

(ii) $\forall p \in P \forall s \in S : \neg (p \text{ in } s)$

(iii) $\forall s, t \in S, s \neq t : \neg (s \text{ and } t \text{ intersect})$
 $\wedge \neg (s \text{ and } t \text{ overlap})$

- Ein Realm entspricht einem planaren Graphen mit Knoten P und Kanten S , die mit räumlichen Lagen behaftet sind.
- Eigenschaften²:
 - (i) Endpunkte von Realm-Segmenten gehören zu den Realm-Punkten.
 - (ii) Keine Realm-Punkte liegen mitten auf Realm-Segmenten.
 - (iii) Realm-Segmente schneiden sich nur in Endpunkten.

¹Die Realm-Bedingungen werden beim Einfügen neuer Realm-Punkt und -Segmente sichergestellt. So müssen Segmente entsprechend neu ermittelter Schnittpunkte u.U. aufgespalten werden! — Die folgende Darstellung hängt jedoch nicht unbedingt von der Vorgabe eines endlichen Gitters ab. Beim Einfügen brauchen Segmente nicht unbedingt im Gitter neu gezeichnet (also mit mehr "Zacken" versehen) werden, sofern man kleine geometrische Ungenauigkeiten in Kauf nimmt, aber den Mehraufwand durch viele Zwischenpunkte einsparen will. Wesentlich ist der konsequente Aufbau komplexer räumlicher Objekte nur aus primitiven Objekten, nämlich Punkten und Segmenten.

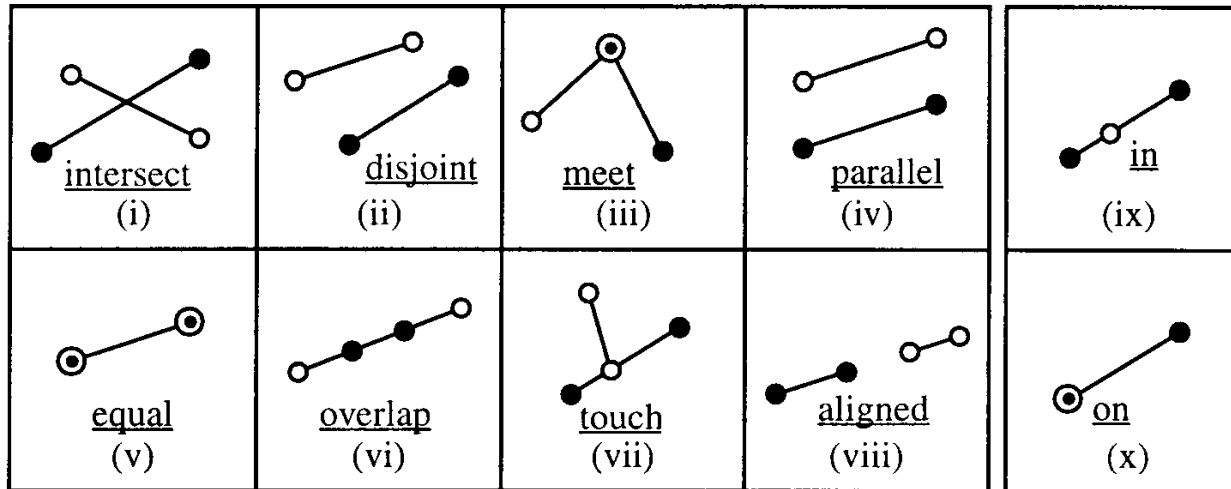
²zur Erläuterung der verwendeten Prädikate in, intersect, overlap (in Infix-Notation) s.u.

Realm-basierte räumliche Datentypen (Forts.)

Definitionsstufen:

4	ROSE Algebra Operations	<p>Objects: <i>points, lines, regions</i></p> <p>Operations: =, ≠, inside, edge_inside, vertex_inside, area_disjoint, edge_disjoint, disjoint, intersects, meets, adjacent, encloses, on_border_of, border_in_common, intersection, plus, minus, common_border, vertices, contour, interior, count, dist, diameter, length, area, perimeter, sum, closest, decompose, overlay, fusion</p>
3	Spatial Data Types and Spatial Algebra Primitives	<p>Objects: <i>points, lines, regions</i></p> <p>Operations: union, intersection, difference, (area-)inside, edge-inside, vertex-inside, area-disjoint, edge-disjoint, (vertex-)disjoint, meet, adjacent, intersect, encloses, on_border_of, border_in_common</p>
2	Realms, Realm- Based Structures, and Realm- Based Primitives	<p>Objects: <i>R-point, R-segment, R-cycle, R-face, R-unit, R-block</i></p> <p>Operations: <u>on</u>, <u>in</u>, <u>out</u>, (area-)inside, edge-inside, vertex-inside, area-disjoint, edge-disjoint, (vertex-)disjoint, adjacent, meet, encloses, intersect, dist, area</p>
1	Robust Geometric Primitives	<p>Objects: <i>N-point, N-segment</i></p> <p>Operations: =, ≠, <u>meet</u>, <u>overlap</u>, <u>intersect</u>, <u>disjoint</u>, <u>on</u>, <u>in</u>, <u>touches</u>, <u>intersection</u>, <u>parallel</u>, <u>aligned</u></p>
0	Integer Arithmetic	<p>Objects: integers in a range depending on n = integer grid size</p> <p>Operations: +, -, *, div, mod, =, ≠, <, ≤, ≥, ></p>

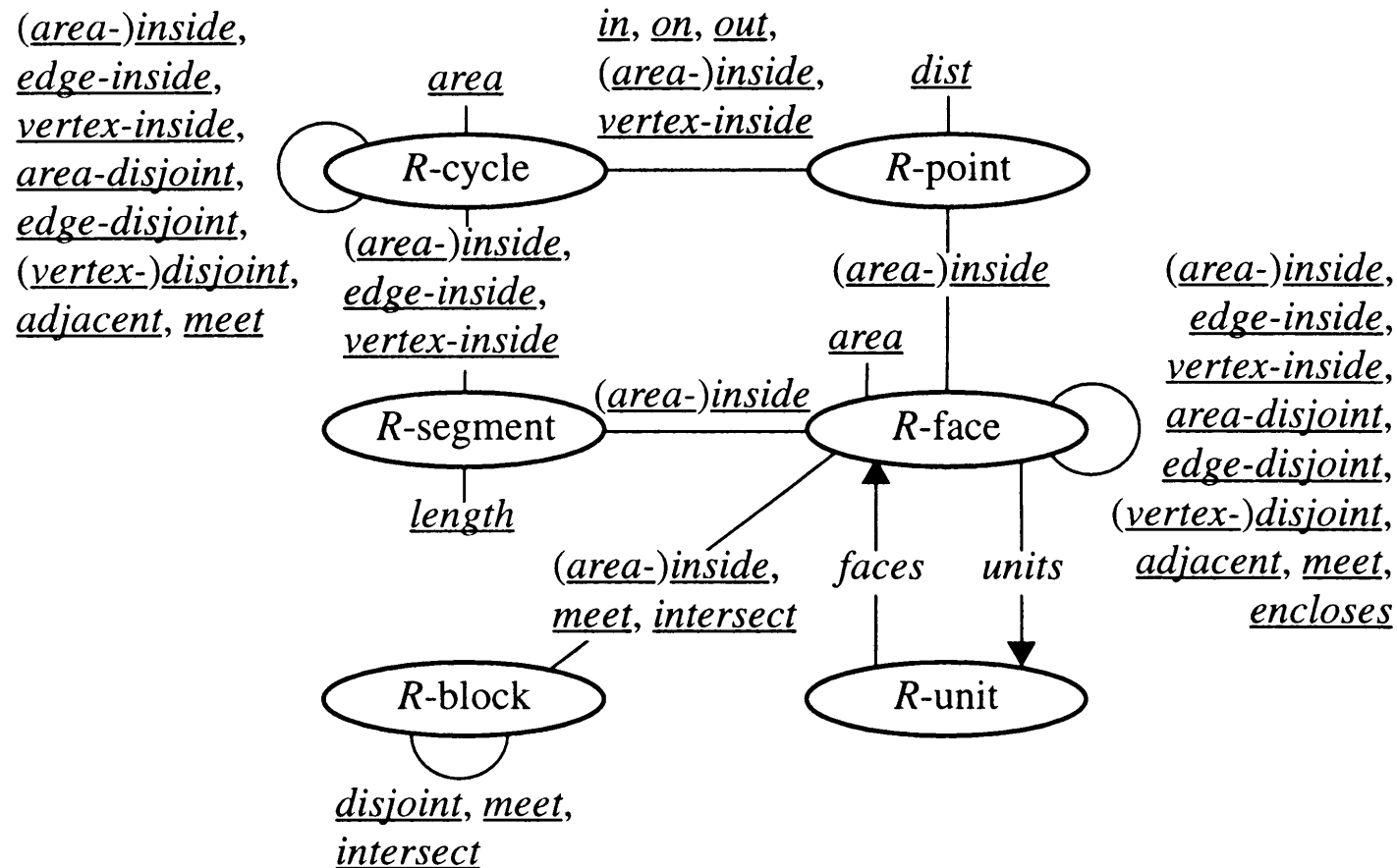
Stufe 1: Geometrische Primitive (für beliebige Segmente)



We explain the primitives informally here: Two N -segments are equal (v) if their end points coincide. Two N -segments meet (iii) if they have exactly one end point in common. They overlap (vi) if they are collinear and share a (partial) N -segment. If they are collinear and do not share a (partial) N -segment, we call them aligned (viii). If they have the same slope, they are parallel (iv). The on (x) primitive tests if an N -point lies on an N -segment; the in (ix) primitive does nearly the same but the N -point must not coincide with one of the end points of the N -segment. An N -segment touches (vii) another N -segment if both N -segments do not overlap and exactly one of the end points of the first N -segment lies in the second N -segment. Two N -segments touch each other if the first N -segment touches the second one, or if the reverse relation holds. If two N -segments have exactly one common point but do neither meet nor touch, they intersect (i). They are disjoint (ii) if they are neither equal nor meet nor touch nor intersect nor overlap. The intersection primitive as the only non-predicate calculates the intersection point of two N -segments and rounds it to the nearest N -point.

Stufe 2: Realm-basierte Strukturen

Neben den Primitiven *R*-Segment und *R*-Punkt werden folgende realm-basierte Strukturen eingeführt und folgende Operationen darauf angeboten (binäre Prädikate für topologische Beziehungen sowie unäre numerische/Konvertierungs-Funktionen):



R-Zyklen

An **R-cycle** c is a set of R -segments $S(c) = \{s_0, \dots, s_{m-1}\}$, such that

- (i) $\forall i \in \{0, \dots, m-1\} : s_i \text{ meets } s_{(i+1) \bmod m}$
- (ii) no more than 2 segments from $S(c)$ meet in any point

Beziehungen zwischen beliebigen (N -)Punkten p und einem R -Zyklus c :

- $p \text{ on } c \iff \exists s \in S(c) : p \text{ on } s$
- $p \text{ in } c \iff \neg p \text{ on } c \wedge [*] \text{ “} p \text{ liegt im Innern von } c \text{”}$

Betrachte ausgehend von $p = (p_x, p_y)$ ein vertikal nach oben verlaufendes Sondiersegment $s_p = (p, (p_x, n))$. Als Kriterium für $[*]$ reicht es zu zählen, für wieviele Segmente s von c der rechte, aber nicht der linke Endpunkt on s_p liegt³ oder intersect s_p gilt; diese Anzahl muss ungerade sein.

- $p \text{ out } c \iff \neg (p \text{ on } c \vee p \text{ in } c)$

$P_{on}(c), P_{in}(c), P_{out}(c)$ bezeichnen die Mengen aller Punkte, die das jeweilige Prädikat bzgl. c erfüllen. Sei $P(c) := P_{on}(c) \cup P_{in}(c)$.

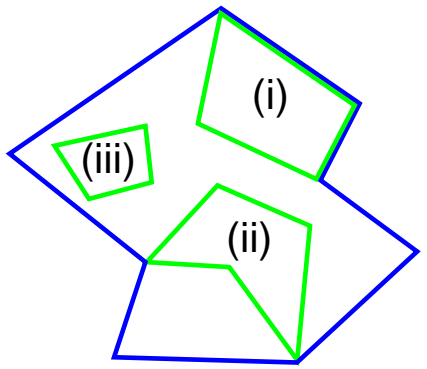
³Der rechte Endpunkt eines Segments ist der größere der beiden Endpunkte in (x, y) -lexikographischer Ordnung.

R-Zyklen (Forts.)

c_2 is

- (*area-*)*inside* (i, ii, iii)
- *edge-inside* (ii, iii)
- *vertex-inside* (iii)

c_1 .

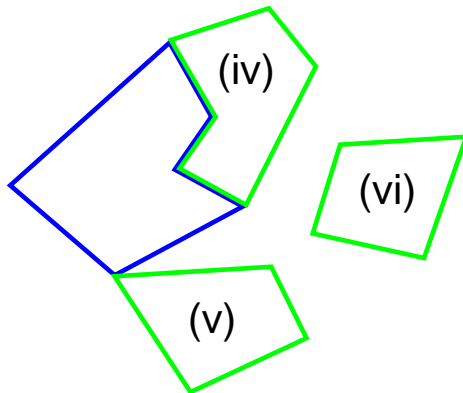


c_1 ———

c_2 ———

c_1 and c_2 are

- *area-disjoint* (iv, v, vi)
- *edge-disjoint* (v, vi)
- (*vertex-*)*disjoint* (vi)



$$c_1 \text{ (area-)inside } c_2 \quad :\Leftrightarrow \quad P(c_1) \subseteq P(c_2)$$

$$c_1 \text{ edge-inside } c_2 \quad :\Leftrightarrow \quad c_1 \text{ area-inside } c_2 \\ \wedge S(c_1) \cap S(c_2) = \emptyset$$

$$c_1 \text{ vertex-inside } c_2 \quad :\Leftrightarrow \quad c_1 \text{ edge-inside } c_2 \\ \wedge P_{on}(c_1) \cap P_{on}(c_2) = \emptyset$$

$$c_1 \text{ and } c_2 \text{ are area-disjoint} \quad :\Leftrightarrow \\ P_{in}(c_1) \cap P(c_2) = \emptyset \wedge P_{in}(c_2) \cap P(c_1) = \emptyset$$

$$c_1 \text{ and } c_2 \text{ are edge-disjoint} \quad :\Leftrightarrow \\ c_1 \text{ and } c_2 \text{ are area-disjoint } \wedge S(c_1) \cap S(c_2) = \emptyset$$

$$c_1 \text{ and } c_2 \text{ are (vertex-)disjoint} \quad :\Leftrightarrow \\ c_1 \text{ and } c_2 \text{ are edge-disjoint } \wedge P_{on}(c_1) \cap P_{on}(c_2) = \emptyset$$

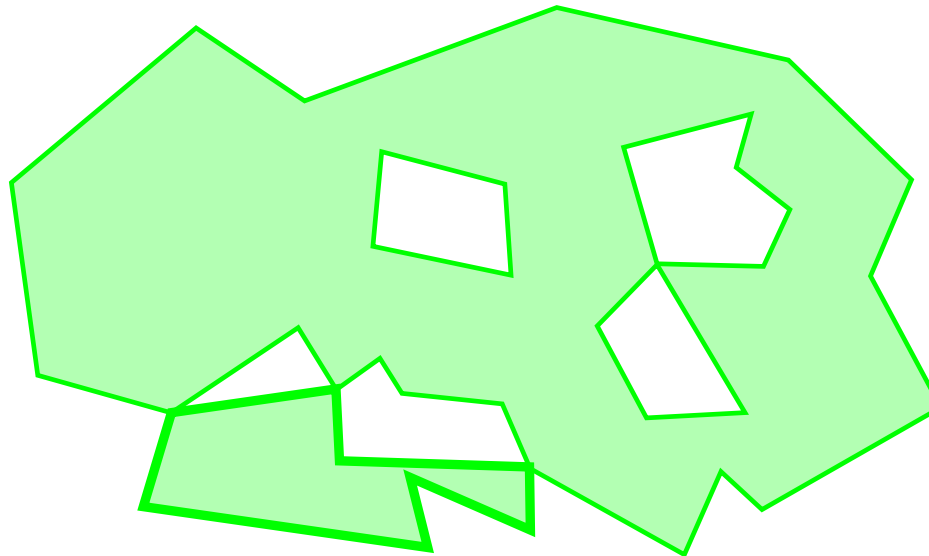
R-“faces”

An *R-face* f is a pair (c, H) where c is an *R*-cycle and $H = \{h_1, \dots, h_m\}$ is a (possibly empty) set of *R*-cycles such that:

- (i) $\forall i \in \{1, \dots, m\} : h_i$ edge-inside c
- (ii) $\forall i, j \in \{1, \dots, m\}, i \neq j : h_i$ and h_j are edge-disjoint
- (iii) “no other cycle can be formed from the segments of f ”

← Region
mit Löchern

(nicht zerlegbar)

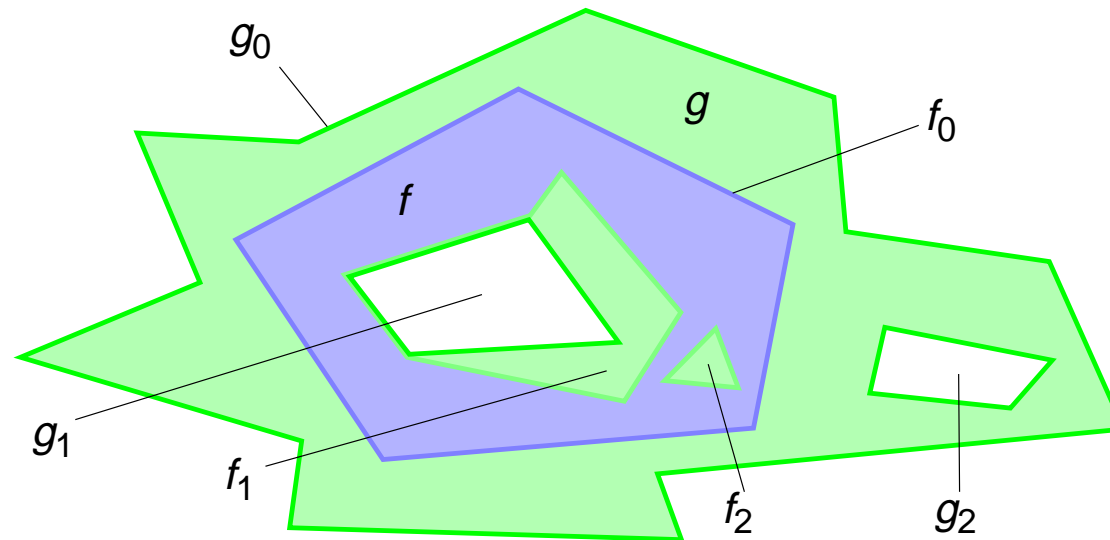


← not 1 face,
but 2 faces!

R-“faces” (Forts.)

Let $f = (f_0, F)$ and $g = (g_0, G)$ be two *R*-faces. Then

$$f \text{ (area-inside) } g \quad :\Leftrightarrow \quad f_0 \text{ area-inside } g_0 \\ \wedge \forall g' \in G : (g' \text{ area-disjoint } f_0 \vee \exists f' \in F : g' \text{ area-inside } f')$$



Sei $F(R)$ die Menge aller möglichen *R*-faces. Eine *R*-Masche (*R*-unit) ist ein minimales *R*-face, d.h.: $\forall g \in F(R) : g \text{ area-inside } f \Rightarrow g = f$

R-faces vs. *R*-units

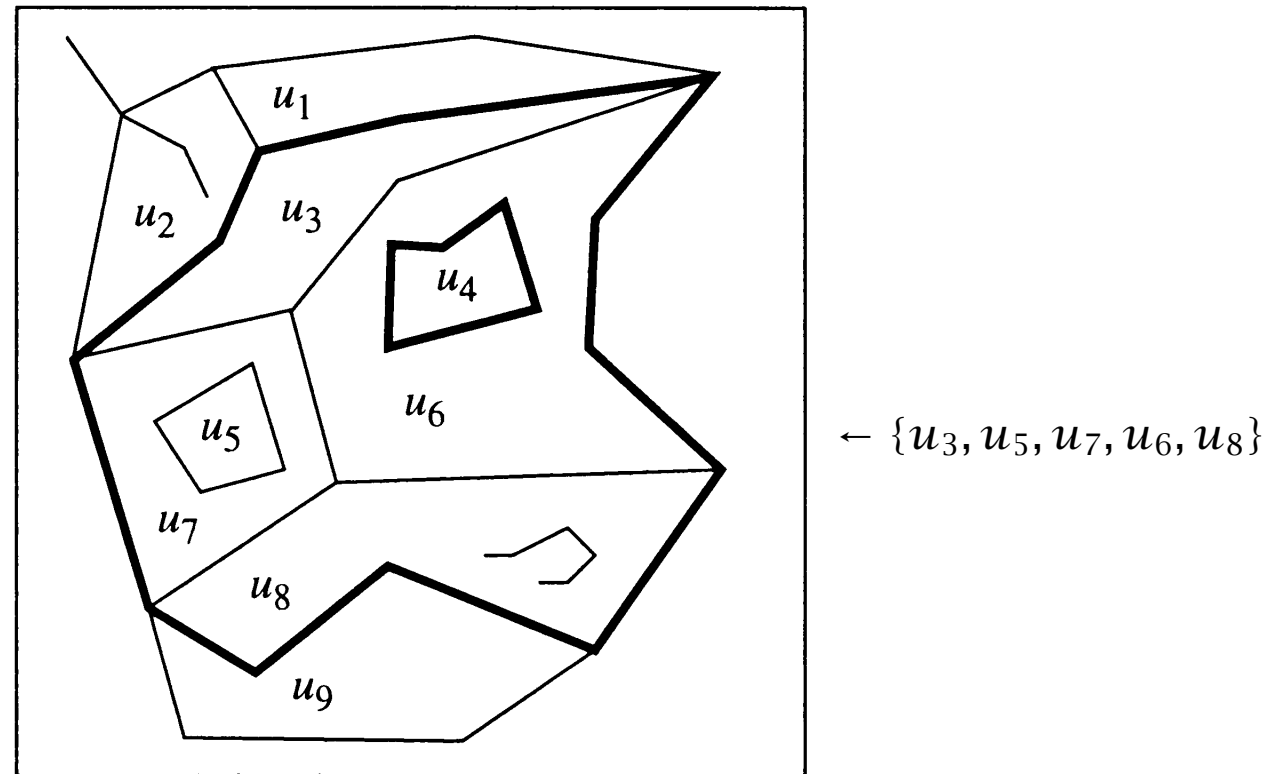


Figure 3-17

Figure 3-17 shows an example of a realm with all its *R*-units u_i and an emphasized *R*-face which is not an *R*-unit.

R-faces vs. R-units (Forts.)

In der nächsten Stufe werden **Regionen** (ein *regions*-Objekt)

- als Menge F von paarweise kantendisjunkten R -faces
(*minimale Begrenzung, Komponentensicht, strukturierte Sicht*)
- *oder* als Menge U von paarweise flächendisjunkten R -units
(*minimale Bausteine, Mengensicht, flache Sicht*)

definiert. Diese Auffassungen sind bijektiv ineinander konvertierbar:

$$\text{units}(F) := \{ u \text{ R-unit} \mid \exists f \in F : u \text{ area-inside } f \}$$

$$\text{faces}(U) := \{ f \text{ R-face} \mid f \text{ ergibt sich durch "Verschmelzen"}^4 \text{ von R-units in } U \}$$

Es gilt: $\text{faces}(\text{units}(F)) = F$ und $\text{units}(\text{faces}(U)) = U$.

⁴Verschmelzen: i.w. durch Weglassen gemeinsamer Segmente, d.h. für je zwei Faces f, g wird das Face $f \triangle g$ mit der Segmentmenge $(S(f) - S(g)) \cup (S(g) - S(f))$ gebildet, usw. iteriert

R-Blöcke vs. *R*-Segmente

Analog lassen sich **Linien** (ein *lines*-Objekt) als Mengen von *R*-Segmenten oder als Menge von disjunkten ***R*-Blöcken** (maximale zusammenhängende Teilgraphen bei Auffassung des Realm als Graph) darstellen.

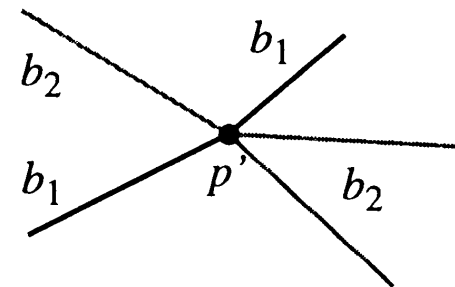
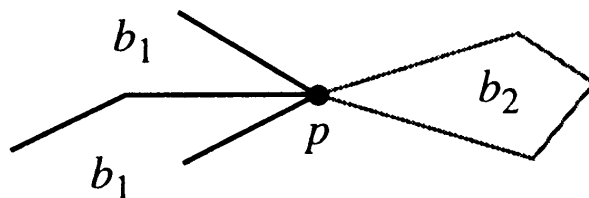
Für zwei *R*-Blöcke b_1, b_2 sei dabei definiert:

$$b_1 \text{ disjoint } b_2 \quad :\Leftrightarrow \quad \forall s_1 \in S(b_1) \forall s_2 \in S(b_2) : s_1 \text{ disjoint } s_2$$

$$\begin{aligned} b_1 \text{ and } b_2 \text{ meet } & :\Leftrightarrow \exists s \in S(b_1) \exists t \in S(b_2) : s \text{ and } t \text{ meet in a meeting point} \wedge \\ & \forall s \in S(b_1) \forall t \in S(b_2) : s \neq t \wedge \\ & (s \text{ and } t \text{ meet in } p \Rightarrow p \text{ is a meeting point}) \end{aligned}$$

$$\begin{aligned} b_1 \text{ and } b_2 \text{ intersect } & :\Leftrightarrow \forall s \in S(b_1) \forall t \in S(b_2) : s \neq t \wedge \exists s \in S(b_1) \exists t \in S(b_2) : \\ & s \text{ and } t \text{ meet in } p \wedge p \text{ is not a meeting point} \end{aligned}$$

For an *R*-point p we consider the angularly sorted cyclic list L_p of *R*-segments $s \in S(b_1) \cup S(b_2)$ that meet in p . p is called a *meeting point* if L_p is the concatenation of two sublists $L_{p,1}$ and $L_{p,2}$ so that all *R*-segments of $L_{p,1}$ are elements of $S(b_1)$ and all *R*-segments of $L_{p,2}$ are elements of $S(b_2)$, or vice versa. In the Figure p represents and p' does not represent a meeting point.



Operationen mit numerischen Ergebniswerten

$\underline{dist}(p, q)$, $\underline{length}(s)$: wie üblich

$\underline{area}(c)$ für R -Zyklus c mit Segmentmenge

$$S(c) = \{s_0, \dots, s_{m-1}\}, s_i = ((x_i, y_i), (x_{(i+1) \bmod m}, y_{(i+1) \bmod m})):$$

$$\underline{area}(c) = \frac{1}{2} \cdot \left| \sum_{i=0}^{m-1} (x_{(i+1) \bmod m} - x_i) \cdot (y_{(i+1) \bmod m} + y_i) \right|$$

Es werden die positiven bzw. negativen Trapezflächen zwischen x -Achse und den Segmenten “aufaddiert”.

$\underline{area}(f)$ für R -face $f = (c, H)$:

$$\underline{area}(f) = \underline{area}(c) - \sum_{h \in H} \underline{area}(h)$$

Stufe 3: Räumliche Datentypen (nur) mit Grundoperationen

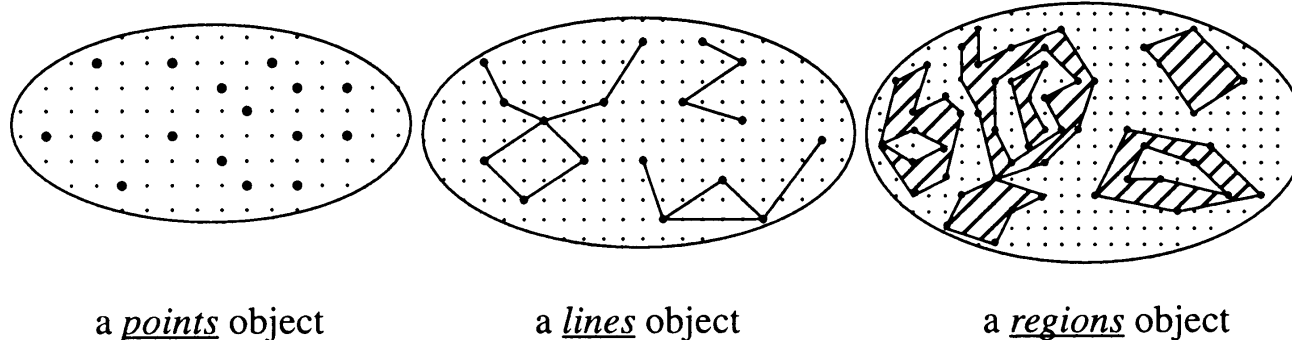
The “flat” view is the following:

For a given realm R , an object of type points is a set of R -points, an object of type lines is a set of R -segments, and an object of type regions is a set of R -units.

The “structured” view, that we shall assume as the formal definition, is as follows:

For a given realm R , an object of type points is a set of R -points, an object of type lines is a set of pairwise disjoint R -blocks, and an object of type regions is a set of pairwise edge-disjoint R -faces.

The first view is conceptually very simple and supports a direct understanding of set operations. The second view is “semantically richer” and shows lines and regions objects as consisting of a number of *components* (blocks or faces). Moreover, it allows one to express relationships between these components and also emphasizes the representation of the boundary in case of regions. Note that a regions object may have holes. Holes are important because (i) they allow for an adequate modelling of area features, and (ii) they make it possible to obtain closure under point set operations. Figure 4-1 illustrates the data types.



The geometric operations can be reduced to the corresponding set-theoretic ones and are defined as follows. Let P_1, P_2 be two points objects, L_1, L_2 two lines objects, and R_1, R_2 two regions objects. Then

$$\mathbf{union} (P_1, P_2) := P_1 \cup P_2$$

$$\mathbf{union} (L_1, L_2) := \mathbf{blocks}(S(L_1) \cup S(L_2))$$

$$\mathbf{union} (R_1, R_2) := \mathbf{faces}(\mathbf{units}(R_1) \cup \mathbf{units}(R_2))$$

!

For *intersection* and *difference* the definitions are analogous.

The following further primitives are needed. Let F and G be two regions objects.

$$F \text{ and } G \text{ are } \mathbf{area-disjoint} \quad :\Leftrightarrow \quad \forall f \in F \forall g \in G : f \text{ and } g \text{ are } \mathbf{area-disjoint}$$

$$F \text{ and } G \text{ are } \mathbf{adjacent} \quad :\Leftrightarrow \quad F \text{ and } G \text{ are } \mathbf{area-disjoint} \wedge \\ \exists f \in F \exists g \in G : f \text{ and } g \text{ are } \mathbf{adjacent}$$

The meaning of the remaining predicates (*area-)*inside, *edge-)*inside, *vertex-)*inside, *edge-disjoint*, (*vertex-)*disjoint, *meet* should be clear; their formal definitions are left to the reader. We define two further predicates *intersect* and *encloses*:

$$F \text{ and } G \text{ intersect} \quad :\Leftrightarrow \quad \mathbf{units}(F) \cap \mathbf{units}(G) \neq \emptyset$$

$$F \text{ encloses } G \quad :\Leftrightarrow \quad \forall g \in G \exists f \in F : f \text{ encloses } g$$

!

Let P and Q be two points objects.

$$P \text{ and } Q \text{ are } \mathbf{disjoint} \quad :\Leftrightarrow \quad P \cap Q = \emptyset$$

Let K and L be two lines objects.

$$\begin{aligned}
K \text{ and } L \text{ are } \textit{disjoint} & :\Leftrightarrow \forall k \in K \forall l \in L : k \text{ and } l \text{ are } \textit{disjoint} \\
K \text{ and } L \textit{ meet} & :\Leftrightarrow (\forall k \in K \forall l \in L : k \text{ and } l \text{ are } \textit{disjoint} \\
& \quad \vee k \text{ and } l \textit{ meet}) \wedge \\
& \quad (\exists k \in K \exists l \in L : k \text{ and } l \textit{ meet}) \\
K \text{ and } L \textit{ intersect} & :\Leftrightarrow (\forall k \in K \forall l \in L : k \text{ and } l \text{ are } \textit{disjoint} \vee \\
& \quad k \text{ and } l \textit{ intersect}) \wedge \\
& \quad (\exists k \in K \exists l \in L : k \text{ and } l \textit{ intersect})
\end{aligned}$$

Let P be a points object, L a lines object, F a regions object, and v, w lines or regions objects.

$$\begin{aligned}
P \text{ (area-)inside } F & :\Leftrightarrow \forall p \in P \exists f \in F : p \textit{ area-inside } f \\
L \text{ (area-)inside } F & :\Leftrightarrow \forall l \in L \exists f \in F : l \textit{ area-inside } f \\
L \text{ and } F \textit{ meet} & :\Leftrightarrow \forall l \in L \forall f \in F : \neg l \textit{ area-inside } f \wedge \\
& \quad \exists l \in L \exists f \in F : l \text{ and } f \textit{ meet} \\
L \text{ and } F \textit{ intersect} & :\Leftrightarrow \exists l \in L \exists f \in F : l \text{ and } f \textit{ intersect} \\
P \textit{ on_border_of } v & :\Leftrightarrow \forall p \in P \exists s = (q_1, q_2) \in S(v) : \\
& \quad p = q_1 \vee p = q_2 \\
v \textit{ border_in_common } w & :\Leftrightarrow \exists s \in S(v) \exists t \in S(w) : s = t
\end{aligned}$$

!

Stufe 4: Vollständige räumliche Datentypen

0. Typmengen (als Wertevorräte für Typvariablen)

DATA = {int, real, bool,}

EXT = {lines, regions}

GEO = {points, lines, regions}

regions^{area-disjoint} steht für alle Auswahlen von *area-disjoint* regions-Objekten.

1. Räumliche Beziehungen

$\forall \text{ geo in GEO. } \forall \text{ ext, ext}_1, \text{ ext}_2 \text{ in EXT. } \forall \text{ area in } \underline{\text{regions}}^{\text{area-disjoint}}$

$\text{geo} \times \text{geo}$	\rightarrow <u>bool</u>	=, \neq , disjoint
$\text{geo} \times \underline{\text{regions}}$	\rightarrow <u>bool</u>	inside
$\underline{\text{regions}} \times \underline{\text{regions}}$	\rightarrow <u>bool</u>	area_disjoint, edge_disjoint, edge_inside, vertex_inside
$\text{ext}_1 \times \text{ext}_2$	\rightarrow <u>bool</u>	intersects, meets
$\text{area} \times \text{area}$	\rightarrow <u>bool</u>	adjacent, encloses
$\underline{\text{points}} \times \text{ext}$	\rightarrow <u>bool</u>	on_border_of
$\text{ext}_1 \times \text{ext}_2$	\rightarrow <u>bool</u>	border_in_common

(i.w. Übernahme aus Stufe 3)

2. Operationen, die SDT-Werte liefern

$\forall \text{ geo in GEO. } \forall \text{ ext, ext}_1, \text{ext}_2 \text{ in EXT.}$

<u>points</u> \times <u>points</u>	\rightarrow <u>points</u>	intersection
<u>lines</u> \times <u>lines</u>	\rightarrow <u>points</u>	intersection
<u>regions</u> \times <u>regions</u>	\rightarrow <u>regions</u>	intersection
<u>regions</u> \times <u>lines</u>	\rightarrow <u>lines</u>	intersection
<u>geo</u> \times <u>geo</u>	\rightarrow <u>geo</u>	plus, minus
<u>ext</u> ₁ \times <u>ext</u> ₂	\rightarrow <u>lines</u>	common_border
<u>ext</u>	\rightarrow <u>points</u>	vertices
<u>regions</u>	\rightarrow <u>lines</u>	contour
<u>lines</u>	\rightarrow <u>regions</u>	interior

übernehmen i.w. Operationen; neu:

$\text{intersection}(R, L) := \text{blocks}(\{ s \in S(L) \mid \exists f \in R : s \text{ inside } f \})$
 (für R :regions, L :lines)

2. Operationen, die SDT-Werte liefern (Forts.)

für $L, L_1, L_2 : \underline{lines}$, $R, R_1, R_2 : \underline{regions}$, $v : \underline{lines}$ oder $\underline{regions}$

$\text{common_border}(L_1, L_2) := \text{intersection}(L_1, L_2) = \text{blocks}(S(L_1) \cap S(L_2))$

$\text{common_border}(R, L) := \text{blocks}(S(R) \cap S(L))$

$\text{common_border}(R_1, R_2) := \text{blocks}(S(R_1) \cap S(R_2))$

$\text{vertices}(v) := \{ p \mid \exists s \in S(v) : s = (p, q) \}$

$\text{contour}(R) := \text{blocks}(\bigcup_{i=1 \dots n} S(c_i))$

falls $R = \{(c_1, H_1), \dots, (c_n, H_n)\}$ (Menge von faces)

$\text{interior}(L) := \text{faces}(\bigcup_{c \in \text{cycles}(S(L))} S(c) - \{s \in S(L) \mid \exists c \in \text{cycles}(S(L)) : s \text{ edge-inside } c\})$

3. Operationen, die numerische Werte liefern

$\forall \text{ geo}, \text{geo}_1, \text{geo}_2 \text{ in GEO.}$

geo	$\rightarrow \text{int}$	no_of_components
$\text{geo}_1 \times \text{geo}_2$	$\rightarrow \text{real}$	dist
geo	$\rightarrow \text{real}$	diameter
<u>lines</u>	$\rightarrow \text{real}$	length
<u>regions</u>	$\rightarrow \text{real}$	area, perimeter

$\text{no_of_components}(g) := |g|$

(g als Menge von Punkten, Blöcken oder faces)

z.B. $\text{dist}(L_1, L_2) := \min\{ \text{dist}(s_1, s_2) \mid s_i \in S(L_i), i = 1, 2 \}$

$\text{diameter}(g) := \max\{ \text{dist}(p, q) \mid p, q \in \text{vertices}(g) \}$

$\text{area}(R) := \sum_{f \in R} \text{area}(f)$ (length, perimeter analog)

4. Operationen auf Mengen von (Datenbank-)Objekten

$\forall \text{ obj, obj}_1, \text{obj}_2 \text{ in OBJ. } \forall \text{ geo, geo}_1, \text{geo}_2 \text{ in GEO.}$

$\forall \text{ area}_1, \text{area}_2 \text{ in } \underline{\text{regions}}^{\text{area-disjoint}}. \forall \text{ data}_i \text{ in DATA. } \forall \text{ geo}_j \text{ in GEO.}_{(\text{union})}$

$\underline{\text{set}}(\text{obj}) \times (\text{obj} \rightarrow \text{geo})$	$\rightarrow \text{geo}$	sum
$\underline{\text{set}}(\text{obj}) \times (\text{obj} \rightarrow \text{geo}_1) \times \text{geo}_2$	$\rightarrow \underline{\text{set}}(\text{obj})$	closest
$\underline{\text{set}}(\text{obj}) \times (\text{obj} \rightarrow \text{geo}) \times \underline{\text{ident}}$	$\rightarrow \underline{\text{set}}(o: \text{OBJ})$	decompose
$\underline{\text{set}}(\text{obj}_1) \times (\text{obj}_1 \rightarrow \text{area}_1) \times \underline{\text{set}}(\text{obj}_2) \times (\text{obj}_2 \rightarrow \text{area}_2) \times \underline{\text{ident}}$	$\rightarrow \underline{\text{set}}(o: \text{OBJ})$	overlay
$\underline{\text{set}}(\text{obj}) \times (\text{obj} \rightarrow \text{data}_i)^+ \times (\text{obj} \rightarrow \text{geo}_j)^+$	$\rightarrow \underline{\text{set}}(o: \text{OBJ})$	fusion

Diese Operationen erfordern eine geeignete DBMS-Schnittstelle.

z.B. $\text{closest}(\text{Objektmenge } O, \text{räumliches Attribut } \text{attr}, g)$
 $:= \{ o \in O \mid \text{dist}(g, \text{attr}(o)) \text{ minimal} \}$

Zur Implementierung realm-basierter räumlicher Datentypen

Jeder *deskriptiv definierte* Operator wird in evtl. mehrere *ausführbare* Operatoren übersetzt. Diese können sich in den behandelten Datentypen oder verwendeten Algorithmen unterscheiden.

I.w. lassen sich hier folgende Paradigmen für geometrische Algorithmen anwenden:

- “parallel traversal” (PT): merge-ähnlicher Durchlauf durch sortierte Sequenzen
- “plane sweep” (PS)
- Graphalgorithmen (G)

Dabei ist die Realm-Basierung auszunutzen, die insbesondere die Anwendung des PS-Paradigmas vereinfacht, weil keine Schnitte mehr dynamisch aufgefunden werden brauchen. Passende sortierte Repräsentationen ermöglichen zudem oft die Anwendung des noch einfacheren PT-Paradigmas. Schließlich erlaubt die Auffassung eines Realms als Graph auch die Verwendung von (G)-Algorithmen.

Die folgende Tabelle gibt einen Überblick über die zugeordneten Operatoren und listet die Zeitkomplexitäten (TC) in Abhängigkeit von n (Gesamtgröße der Operanden), m (Größe des *regions*-Operanden, falls vorhanden) und k (Ausgabegröße). Die Präfixe ‘pp_’, ‘rl_’ der Operatoren nennen die behandelten Datentypen (points, lines, reasons).

Descriptive Operator	Executable Operator	PT	PS	G	TC
$geo \times geo \rightarrow \underline{bool}$ \neq disjoint	pp_equal, ll_equal, rr_equal	x			$O(n)$
	pp_unequal, ll_unequal, rr_unequal	x			$O(n)$
	pp_disjoint, ll_disjoint rr_disjoint	x			$O(n)$
			x		$O(n \log n)$
$geo \times \underline{regions} \rightarrow \underline{bool}$ inside	pr_inside, lr_inside		x		$O(n \log m)$
	rr_inside		x		$O(n \log n)$
$\underline{regions} \times \underline{regions} \rightarrow \underline{bool}$ area_disjoint edge_disjoint edge_inside vertex_inside	rr_area_disjoint		x		$O(n \log n)$
	rr_edge_disjoint		x		$O(n \log n)$
	rr_edge_inside		x		$O(n \log n)$
	rr_vertex_inside		x		$O(n \log n)$
$ext_1 \times ext_2 \rightarrow \underline{bool}$ intersects meets	ll_intersects	x			$O(n)$
	lr_intersects, rl_intersects		x		$O(n \log m)$
	rr_intersects		x		$O(n \log n)$
	ll_meets	x			$O(n)$
	lr_meets, rl_meets		x		$O(n \log m)$
	rr_meets		x		$O(n \log n)$
border_in_common	ll_border_in_common, lr_border_in_common, rl_border_in_common, rr_border_in_common	x			$O(n)$

Descriptive Operator	Executable Operator	PT	PS	G	TC
$area \times area \rightarrow \underline{bool}$ adjacent	rr_adjacent		x		$O(n \log n)$
$area \times area \rightarrow \underline{bool}$ encloses	rr_encloses		x		$O(n \log n)$
$\underline{points} \times \underline{ext} \rightarrow \underline{bool}$ on_border_of	pl_on_border_of, pr_on_border_of	x			$O(n)$
$\underline{points} \times \underline{points} \rightarrow \underline{points}$ intersection	pp_intersection	x			$O(n + k \log k)$
$\underline{lines} \times \underline{lines} \rightarrow \underline{points}$ intersection	ll_intersection	x			$O(n + k \log k)$
$\underline{regions} \times \underline{regions} \rightarrow \underline{regions}$ intersection	rr_intersection		x		$O(n \log n)$
$\underline{regions} \times \underline{lines} \rightarrow \underline{lines}$ intersection	rl_intersection		x		$O(n \log m + k \log k)$
$geo \times geo \rightarrow geo$ plus	pp_plus, ll_plus	x			$O(n + k \log k)$
	rr_plus		x		$O(n \log n)$
$geo \times geo \rightarrow geo$ minus	pp_minus, ll_minus	x			$O(n + k \log k)$
	rr_minus		x		$O(n \log n)$
$ext_1 \times ext_2 \rightarrow \underline{lines}$ common_border	ll_common_border, lr_common_border, rl_common_border, rr_common_border	x			$O(n + k \log k)$

Descriptive Operator		Executable Operator	PT	PS	G	TC
$ext \rightarrow \underline{points}$	vertices	l_vertices, r_vertices	x			$O(n + k \log k)$
$\underline{regions} \rightarrow \underline{lines}$	contour	r_contour			x	$O(n \log n) / O(k \log k)$
$\underline{lines} \rightarrow \underline{regions}$	interior	l_interior			x	$O(n \log n)$
$geo \rightarrow \underline{int}$	no_of_components	p_no_of_components	x			$O(n) / O(1)$
		l_no_of_components, r_no_of_components			x	$O(n \log n) / O(1)$
$geo_1 \times geo_2 \rightarrow \underline{real}$	dist	pp_dist, pl_dist, pr_dist, lp_dist, ll_dist, lr_dist, rp_dist, rl_dist, rr_dist				
$geo \rightarrow \underline{real}$	diameter	p_diameter, l_diameter, r_diameter	<i>special algorithm</i>			$O(n) / O(1)$
$\underline{lines} \rightarrow \underline{real}$	length	l_length	x			$O(n) / O(1)$
$\underline{regions} \rightarrow \underline{real}$	area	r_area	x			$O(n) / O(1)$
	perimeter	r_perimeter	x			$O(n) / O(1)$

Realm-DB-Interface

Für alle realm-basierten Operationen wird folgendes Realm-Teilschema im Rahmen einer räumlichen Datenbank angenommen:

- Die **DB- bzw. Anwendungsobjekte** **haben** räumliche Komponenten (\rightsquigarrow Relationship).
- Jede **räumliche Komponente** *sc* (spatial component) ist von einem räumlichen Datentyp der obersten Stufe, hat eine ID *scid* (vom Datentyp *SCID*) und trägt – redundant – ihren Gesamtgeometriewert und weitere vorausberechnete Größen, z.B. Länge/Fläche.
- Jede räumliche Komponente ist aus Realm-Objekten, d.h. Punkten und Segmenten, **zusammengesetzt** (\rightsquigarrow Relationship).
- Jedes **Realm-Objekt** *r* hat eine ID *roid* (vom Datentyp *ROID*) und trägt seine Geometrie, dargestellt als Punkt oder Punktpaar.
- Über das Zusammensetzungs-Relationship seien zu einer räumlichen Komponente *sc* alle zugehörigen Realm-Objekte *roids(sc)* und zu einem Realm-Objekt *r* alle dieses enthaltenden räumlichen Komponenten *scids(r)* zugreifbar.

Realm-DB-Interface (Forts.)

Damit kann ein Realm R mit seinem Kontext dargestellt werden als:

$$\{ (r, roid(r), scids(r)) \mid r \in R \} : \textit{Realm}$$

Diese **Realm-Repräsentation** sei u.a. über einen räumlichen Index zugreifbar, der z.B. einen schnellen Zugriff auf alle R -Segmente und R -Punkte innerhalb eines gegebenen Rechteckfensters erlaubt (siehe Operation *Window* unten, zu Indexen siehe Kapitel 3).

Indirekt kann so – per Index und *scids*-Komponente – auch auf die DB-Objekte zugegriffen werden.

Gewartet wird diese Realm-Repräsentation durch nachfolgende Update- und Zugriffs-Operationen:

Realm-DB-Interface (Forts.)

sorts *Realm, Point, Segment, RealmObject, ROID, SCID, Rectangle, Bool, Integer*

ops	<i>InsertNPoint:</i>	$Realm \times Point$	$\rightarrow Realm \times ROID \times (SCID \times (Segment \times ROID)^*)^*$
	<i>InsertNSegment:</i>	$Realm \times Segment$	$\rightarrow Realm \times (Segment \times ROID)^* \times (SCID \times (Segment \times ROID)^*)^* \times Bool$
	<i>SplitRSegment:</i>	$Realm \times ROID \times Point$	$\rightarrow Realm \times ROID \times (SCID \times (Segment \times ROID)^*)^* \times Bool$
	<i>Delete:</i>	$Realm \times ROID$	$\rightarrow Realm \times Bool$

The operation *InsertNSegment* takes a realm and an *N*-segment. It returns (i) the modified realm, (ii) a list of segments with their *roids* which may contain either the original segment as the only element or a redrawing of this segment, and (iii) a possibly empty set of database segments that must be redrawn. Here the inserted segment may need redrawing because it traverses *R*-points, overlaps *R*-segments, or intersects *R*-segments. Only those *R*-segments need redrawing that are intersected by this segment. For each such *R*-segment its *scid* together with a list of pairs $(s, roid(s))$ (where *s* is a segment of the redrawing) is returned. The last parameter (iv) indicates whether insertion was performed. It was rejected, if not both end points of the segment were present in the realm.

Realm-DB-Interface (Forts.)

The second group of operations supports the management of the two-way linking between realm objects and components of spatial attribute values in the database:

<i>Register:</i>	$Realm \times ROID \times SCID$	$\rightarrow Realm$
<i>Unregister:</i>	$Realm \times ROID \times SCID$	$\rightarrow Realm$
<i>GetSCIDs:</i>	$Realm \times ROID$	$\rightarrow SCID^*$
<i>GetRealmObject:</i>	$Realm \times ROID$	$\rightarrow RealmObject$

Here *Register* informs a realm object *roid* about a spatial component *scid* depending on it. *Unregister* removes such an information. *GetSCIDs* returns the *scids* of spatial components depending on a given *roid*, *GetRealmObject* returns the geometry.

The last group of operations supports the selection of realm objects for the construction of spatial objects:

<i>Window:</i>	$Realm \times Rectangle$	$\rightarrow (RealmObject \times ROID)^*$
<i>Identify:</i>	$Realm \times Point \times Integer$	$\rightarrow ROID \times Bool$

Window returns all realm objects together with their *roid* that are inside or intersect a given rectangular window. *Identify* tries to identify a realm object close to the *N*-point given as a parameter. The number given as a third parameter controls the “pick distance”. A *roid* (possibly undefined) is returned together with an indication whether identification was successful.

Sortierungen räumlicher Objekte

Für zwei Gitter-Punkte $p_1 = (x_1, y_1), p_2 = (x_2, y_2) \in P_N$ lässt sich eine $((x, y)$ -lexikographische) Ordnung wie folgt definieren:

$$p_1 < p_2 :\Leftrightarrow x_1 < x_2 \vee (x_1 = x_2 \wedge y_1 < y_2)$$

Zu jedem normalisierten Segment $s = (p, q), p < q$ (d.h. p “linker” und q “rechter Endpunkt”) lassen sich zwei **Halbsegmente**

$$h = (s, d), d \in \{left, right\}$$

bilden. Dadurch wird ein Zielpunkt (*destination point*) ausgezeichnet:

$$\text{für } h = (s, d), s = (p, q) : dp(h) := p, \text{ falls } d = left, \quad q \text{ sonst}$$

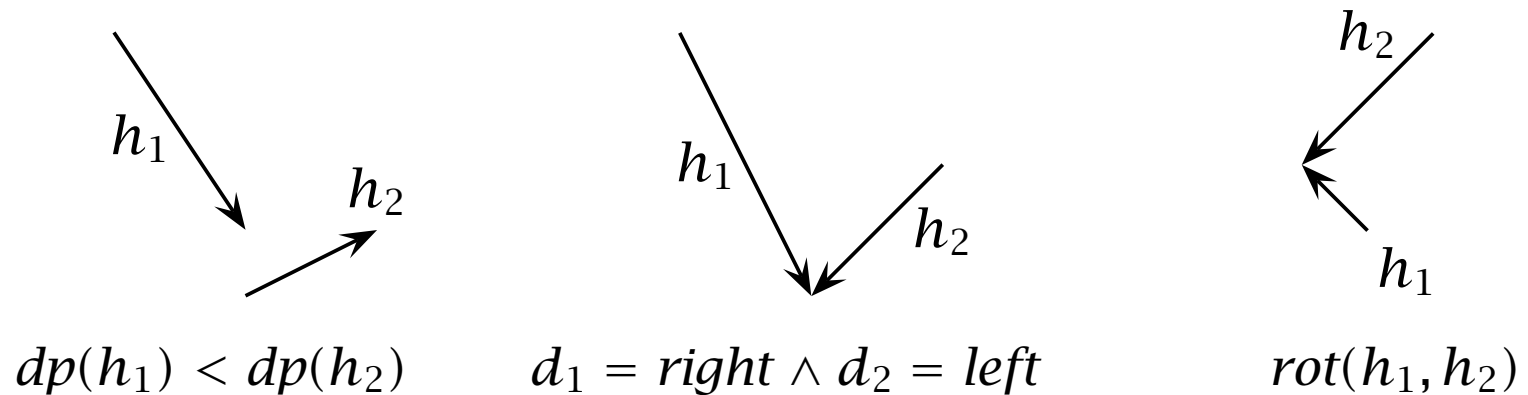
Auf Halbsegmenten lässt sich wie folgt eine Ordnung definieren:

$$h_1 < h_2 :\Leftrightarrow dp(h_1) < dp(h_2) \vee (dp(h_1) = dp(h_2) \wedge ((d_1 = right \wedge d_2 = left) \vee (d_1 = d_2 \wedge rot(h_1, h_2))))$$

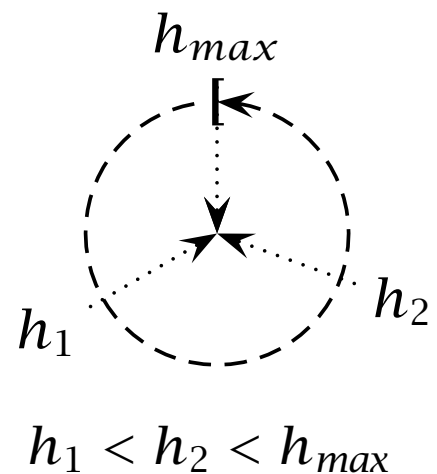
Dabei sei $rot(h_1, h_2)$ wahr gdw. sich h_1 gegen den Uhrzeigersinn mit einem Winkel $0 < \alpha \leq 180^\circ$ so drehen lässt, dass h_2 überlappt wird.

Sortierungen räumlicher Objekte (Forts.)

Z. B. gilt in den folgenden Fällen $h_1 < h_2$:



Segmente mit gleichem Zielpunkt sind wie folgt angeordnet:



Repräsentation räumlicher Objekte

Jedes *points*- Objekt v wird durch die sortierte Sequenz aller enthaltenen Punkte (Menge $P(v)$) dargestellt, jedes *lines*- bzw. *regions*-Objekt v durch die sortierte Sequenz aller enthaltenen Segmente, jeweils in beiden Richtungen (Menge $H(v)$ der Halbsegmente). Jede Sequenz trägt eine aktuelle Position (Cursor).

Hilfsmethoden für den parallelen Durchlauf von zwei sortierten Sequenzen v, w :

..._select_first($v, w, object, status$),
..._select_next($v, w, object, status$)

melden, welche der beiden Sequenzen das erste minimale bzw. das nächste minimale Element liefert, und welche Sequenz bereits vollständig durchlaufen worden ist (nachdem sie vorher die Cursor initialisiert bzw. abhängig vom vorigen Ergebnis einen oder beide Cursor weitergesetzt haben):

$object = none \mid first \mid second \mid both$
 $status = end_of_none \mid end_of_first \mid end_of_second \mid end_of_both$

get_pt bzw. *get_hs* holen den aktuellen Punkt bzw. das aktuelle Halbsegment.

Bei einer *points*-Sequenz und einer *lines*- oder *regions*-Sequenz ("*pr_select...*") werden nur Punkte und (verschiedene) Zielpunkte verglichen.

Parallel-Traversal (PT) – basierte Algorithmen

algorithm *pp_plus*

input: Two *points* objects P_1 and P_2

output: A *points* object P_{new} containing all points of P_1 and P_2

begin

$P_{new} := new();$

$pp_select_first(P_1, P_2, object, status);$

while $status \neq end_of_both$ **do**

if $object = first$ **then** $p := get_pt(P_1)$

else if $object = second$ **then** $p := get_pt(P_2)$

else if $object = both$ **then** $p := get_pt(P_1)$

end-if;

$P_{new} := insert(P_{new}, p);$

$pp_select_next(P_1, P_2, object, status);$

end-while;

return P_{new}

end *pp_plus*.

Parallel-Traversal (PT) – basierte Algorithmen (Forts.)

algorithm pr_on_border_of

input: A points object P and a regions object R

output: *true*, if $\forall p \in P(P) \exists h \in \tilde{H}(R) : p = dp(h)$
false, otherwise

begin

pr_select_first($P, R, object, status$);

while (*object* \neq *first*) **and** (*status* = *end_of_none*) **do**

pr_select_next($P, R, object, status$);

end-while;

return (*object* \neq *first*) **and** (*status* \neq *end_of_second*)

end pr_on_border_of.

Parallel-Traversal (PT) – basierte Algorithmen (Forts.)

algorithm *ll_intersects*

input: Two *lines* objects L_1 and L_2

output: *true*, if no common segment exists, but a common point
which is not a meeting point
false, otherwise

begin

ll_select_first(L_1 , L_2 , *object*, *status*);

if *object* = *first* **then** *act_dp* := *dp*(*get_hs*(L_1))

else if *object* = *second* **then** *act_dp* := *dp*(*get_hs*(L_2))

end-if;

old_obj := *object*; *found* := *false*; *count* := 0;

while (*status* = *end_of_none*) **and** (*object* ≠ *both*) **do**

ll_select_next(L_1 , L_2 , *object*, *status*);

if (*status* ≠ *end_of_both*) **and** (*object* ≠ *both*) **and not** *found* **then**

if *object* = *first* **then**

new_dp := *dp*(*get_hs*(L_1))

else if *object* = *second* **then**

new_dp := *dp*(*get_hs*(L_2))

end-if;

if new_dp ≠ act_dp then (* new point *)

act_dp := *new_dp*;

count := 0;

old_obj := *object*;

else if *object* ≠ *old_obj* **then** (* object switch *)

count := *count* + 1;

old_obj := *object*;

found := *found* **or** (*count* > 2);

end-if;

end-if;

end-while;

return *found* **and** (*object* ≠ *both*);

end ll_intersects.

Plane-Sweep (PS) – basierte Algorithmen

Sweep-Status S = sortierte Sequenz von Segmenten mit aktueller Position und Attributen, im folgenden formal dargestellt als

$$S = \{ (pos, \langle s_1, \dots, s_n \rangle, \langle a_1, \dots, a_n \rangle \mid s_i \text{ Realm-Segment,} \\ a_i \text{ Menge von Attributwerten, } s_i \text{ über } s_{i-1} \text{ für } i = 1, \dots, n \}$$

Dabei gilt s_i über s_{i-1} gdw. der Durchschnitt der x -Intervalle von s_i und s_{i-1} nicht-leer ist und an den Enden des gemeinsamen x -Intervalls

$$y\text{-Koordinate}(s_i) \geq y\text{-Koordinate}(s_{i-1}).$$

Analog *unter*. — Wegen der Realm-Eigenschaften kommen keine Schnitte und Überlappungen der Segmente vor.

Auch *points*-, *lines*- und *regions*-Objekte können zu jedem ihrer Punkte bzw. Halbsegmente Attributwerte tragen.

Aktionen für Sweep-Status S und Segmente s :

add_left(S, s): fügt Segmentkomponente eines linken Halbsegments in S ein

del_right(S, s): löscht Segmentkomponente eines rechten Halbsegments aus S

Plane-Sweep (PS) – basierte Algorithmen (Forts.)

Weitere Hilfsoperationen:

new_sweep(): Generator

pred_of_s(S, s): setzt aktuelle Position von S auf das nächste Segment in S
unter dem Segment s

pred_of_p(S, p): setzt aktuelle Position von S auf das nächste Segment in S
unter dem Punkt p

current_exists(S), *pred_exists(S)*: aktuelle Position bzw. Vorgängerposition
besetzt ?

set_attr(S, ...), *get_attr(S)*, *get_pred_attr(S)*:
setzt/liest Attributwerte an aktueller/Vorgänger-Position

Ereignisliste: hier statisch durch sortierte Argumentobjekt(punkt)e vorgegeben,
insbesondere von links nach rechts

Realisierung des Sweep-Status: z.B. mit AVL-Baum

Plane-Sweep (PS) – basierte Algorithmen: *InsideAttribute*

algorithm *InsideAttribute*

input: A regions object $R = (i, \langle h_1, \dots, h_n \rangle, \langle a_1, \dots, a_n \rangle)$

output: $R' = (i', \langle h_1, \dots, h_n \rangle, \langle a_1', \dots, a_n' \rangle)$ with $a_i' = a_i$ if h_i is a right halfsegment, $a_i' = a_i \cup \{InsideAbove\}$ if h_i is a left halfsegment and the area of R lies above or left of the segment component of h_i , and $a_i' = a_i \setminus \{InsideAbove\}$ otherwise (for $1 \leq i \leq n$)

begin

$S := new_sweep();$

$R := select_first(R);$

Idee: Plane-Sweep über (die Segmente des) regions-Objekts R (z.B. am Ende der Konstruktion von R , so dass *InsideAbove* vorausberechnet wird)

Jedes ungerade Segment im Sweep-Status erhält das *InsideAbove*-Attribut; genauer jedes Segment erhält beim Einfügen in den Sweep-Status das Attribut, falls es das erste Segment ist oder falls sein Vorgänger nicht das Attribut hat.

```

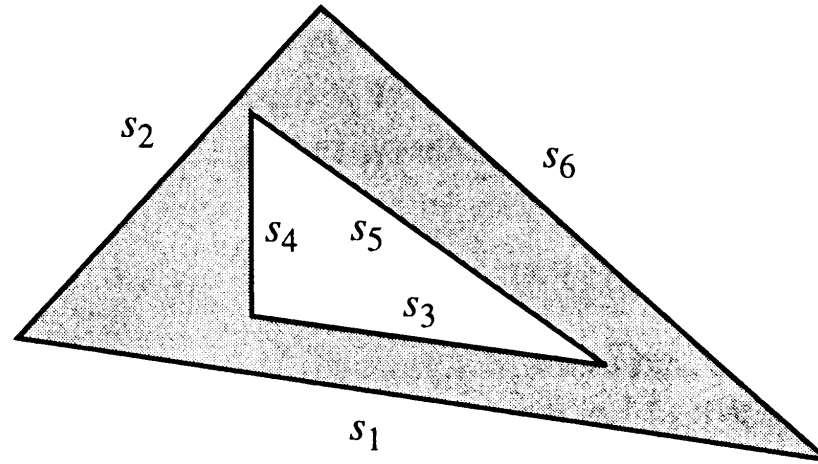
while not end_of_hs(R) do
  h := get_hs(R); (* Let  $h = (s, d)$  *)
  attr := get_attr(R);
  if d = left then
    S := add_left(S, s);
    if not pred_exists(S) then
      S := set_attr(S, {InsideAbove});
      R := update_attr(R, attr  $\cup$  {InsideAbove});
    else
      pred_attr := get_pred_attr(S);
      if InsideAbove  $\in$  pred_attr then
        S := set_attr(S,  $\emptyset$ );
        R := update_attr(R, attr  $\setminus$  {InsideAbove});
      else
        S := set_attr(S, {InsideAbove});
        R := update_attr(R, attr  $\cup$  {InsideAbove});
      end-if;
    end-if;
  else
    S := del_right(S, s);
  end-if;
  R := select_next(R);
end-while;
end InsideAttribute.

```

Plane-Sweep (PS) – basierte Algorithmen: *InsideAttribute* (Forts.)

Beispiel:

We consider the following regions object R :



Let $h_i^l = (s_i, \text{left})$ and $h_i^r = (s_i, \text{right})$ denote the left and right halfsegments belonging to the segments s_i for $1 \leq i \leq 6$. We assume that no attributes have been assigned to the halfsegments of R . Then R has the following structure after the call of *select_first*:

$$R = (1, \langle h_1^l, h_2^l, h_3^l, h_4^l, h_4^r, h_5^l, h_2^r, h_6^l, h_5^r, h_3^r, h_6^r, h_1^r \rangle, \langle \emptyset, \dots, \emptyset \rangle)$$

Figure 5-2 shows in the first column the halfsegment currently processed within the while-loop and in the second column the effect of this process on the sweep line status.

After the execution of algorithm *InsideAttribute*, the regions object R has the following structure:

$$R = (0, \langle h_1^l, h_2^l, h_3^l, h_4^l, h_4^r, h_5^l, h_2^r, h_6^l, h_5^r, h_3^r, h_6^r, h_1^r \rangle, \langle \{I\}, \emptyset, \emptyset, \{I\}, \emptyset, \{I\}, \emptyset, \emptyset, \emptyset, \emptyset, \emptyset, \emptyset \rangle)$$

Plane-Sweep (PS) – basierte Algorithmen: *InsideAttribute* (Forts.)

Halfsegment	Sweep line status S	
-	(0, \diamond ,	\diamond)
h_1^l	(1, $\langle s_1 \rangle$,	$\langle \{I\} \rangle$)
h_2^l	(2, $\langle s_1, s_2 \rangle$,	$\langle \{I\}, \emptyset \rangle$)
h_3^l	(2, $\langle s_1, s_3, s_2 \rangle$,	$\langle \{I\}, \emptyset, \emptyset \rangle$)
h_4^l	(3, $\langle s_1, s_3, s_4, s_2 \rangle$,	$\langle \{I\}, \emptyset, \{I\}, \emptyset \rangle$)
h_4^r	(0, $\langle s_1, s_3, s_2 \rangle$,	$\langle \{I\}, \emptyset, \emptyset \rangle$)
h_5^l	(3, $\langle s_1, s_3, s_5, s_2 \rangle$,	$\langle \{I\}, \emptyset, \{I\}, \emptyset \rangle$)
h_2^r	(0, $\langle s_1, s_3, s_5 \rangle$,	$\langle \{I\}, \emptyset, \{I\} \rangle$)
h_6^l	(4, $\langle s_1, s_3, s_5, s_6 \rangle$,	$\langle \{I\}, \emptyset, \{I\}, \emptyset \rangle$)
h_5^r	(0, $\langle s_1, s_3, s_6 \rangle$,	$\langle \{I\}, \emptyset, \emptyset \rangle$)
h_3^r	(0, $\langle s_1, s_6 \rangle$,	$\langle \{I\}, \emptyset \rangle$)
h_6^r	(0, $\langle s_1 \rangle$,	$\langle \{I\} \rangle$)
h_1^r	(0, \diamond ,	\diamond)

Figure 5-2

Plane-Sweep (PS) – basierte Algorithmen: *pr_inside*

[Anwendung des *InsideAbove*-Attributs]

algorithm *pr_inside*

input: A *points* object *P* and a *regions* object *R*

output: *true*, if all points of *P* lie in the area of *R*
false, otherwise

begin

S := *new_sweep*();

inside := *true*;

pr_select_first(*P*, *R*, *object*, *status*);

while (*status* ≠ *end_of_first*) **and** *inside* **do**

if (*object* = *both*) **or** (*object* = *second*) **then**

h := *get_hs*(*R*); (* Let *h* = (*s*, *d*). *)

attr := *get_attr*(*R*);

if *d* = *left* **then**

S := *add_left*(*S*, *s*);

if *InsideAbove* ∈ *attr* **then**

S := *set_attr*(*S*, {*InsideAbove*});

end-if

else

S := *del_right*(*S*, *s*);

end-if

pr_select_next(*P*, *R*, *object*, *status*);

else

S := *pred_of_p*(*S*, *get_pt*(*P*));

if *current_exists*(*S*)

then *inside* := (*InsideAbove* ∈ *get_attr*(*S*))

else *inside* := *false*

end-if

end-if;

pr_select_next(*P*, *R*, *object*, *status*);

end-while;

return *inside*;

end *pr_inside*.

Plane-Sweep (PS) – basierte Algorithmen: *rl_intersection* [Weitere Anwendung des *InsideAbove*-Attributs]

algorithm *rl_intersection*

input: A *lines* object L and a *regions* object R

output: A new *lines* object L_{new} containing all halfsegments of L
whose segment components lie in R

begin

$L_{new} := new();$

$S := new_sweep();$

$lr_select_first(L, R, object, status);$

while $status = end_of_none$ **do**

if ($object = both$) **or** ($object = second$) **then**

$h := get_hs(R);$ (* Let $h = (s, d)$. *)

$attr := get_attr(R);$

if $d = left$ **then**

$S := add_left(S, s);$

if $InsideAbove \in attr$ **then**

$S := set_attr(S, \{InsideAbove\});$

end-if

else

$S := del_right(S, s);$

end-if

end-if;

Plane-Sweep (PS) – basierte Algorithmen: *rl_intersection* (Forts.)

```
end if;  
if object = both then  
     $h := \text{get\_hs}(L);$   
     $L_{\text{new}} := \text{insert}(L_{\text{new}}, h);$   
else if object = first then  
     $h := \text{get\_hs}(L);$  (* Let  $h = (s, d)$ . *)  
     $S := \text{pred\_of\_s}(S, s);$   
    if current_exists( $S$ ) and (InsideAbove  $\in$  get_attr( $S$ )) then  
         $L_{\text{new}} := \text{insert}(L_{\text{new}}, h);$   
    end-if;  
end-if;  
     $\text{lr\_select\_next}(L, R, \text{object}, \text{status});$   
end-while;  
return  $L_{\text{new}};$   
end rl_intersection.
```

Weitere Plane-Sweep-Algorithmen und Attributierungen

Für Operationen über zwei oder mehreren *regions*-Objekten:

Jedes beteiligte Segment s erhält als Attribut eine Klassifikation

$$ovl(s) = (m/n)$$

wobei n = #überlappende (*overlapping*) Regionen über (oder links von) s
und m = #überlappende Regionen unter (oder rechts von) s .

Bei *rr*-Operationen kann dieses Attribut per Plane-Sweep während der Operation berechnet werden. Zu überprüfen bleibt z.B.

R_1 *rr_inside* R_2 gdw.

$$\forall s \in S(R_1) - S(R_2) : ovl(s) \in \{(1/2), (2/1)\}$$

$$\wedge \forall s \in S(R_2) - S(R_1) : ovl(s) \in \{(0/1), (1/0)\}$$

$$\wedge \forall s \in S(R_1) \cap S(R_2) : ovl(s) \in \{(0/2), (2/0)\}$$

R_1 *rr_intersects* R_2 gdw.

$$\exists s \in S(R_1) \cup S(R_2) : ovl(s) \in \{(0/2), (1/2), (2/1), (2/0)\}$$

Graphen-Algorithmen

Die betroffenen Objekte werden als ein planarer Graph aufgefasst.

Verwendet werden Adjazenzlisten zu jedem Graphknoten, genauer an jedem Punkt die Liste der eingehenden Halbsegmente in der üblichen Ordnung.

Zudem wird von jedem Halbsegment auf das zugehörige Partnerhalbsegment verwiesen, wodurch sich Graphkanten verfolgen lassen.

Einblick in einen Graphen-Algorithmus: *r_contour* → → → → →

The main problem of the algorithm for **r_contour** is the assignment of the segments to the correct *outer cycles* and *hole cycles* which according to the face definition is unique. According to that definition, the regions object in Figure 5-6(a) consists of two faces rather than of a single face with a hole.

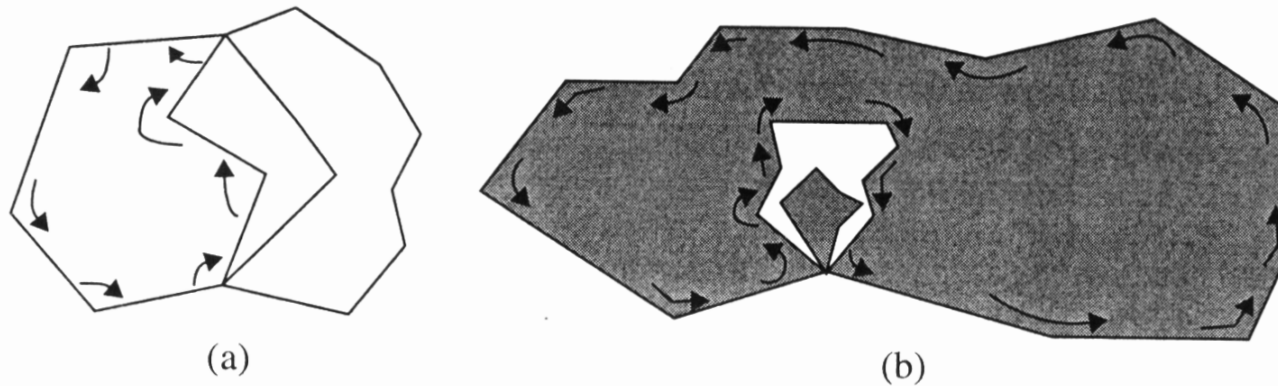


Figure 5-6

An important observation is that for the *first* halfsegment of any cycle (with respect to the order of halfsegments) we can decide whether it belongs to an outer cycle or a hole. It is a left halfsegment and belongs to an outer cycle if and only if the attribute *InsideAbove* has been set, otherwise it belongs to a hole.

We adopt the following strategy: If for a given left halfsegment it is known that it belongs to an outer cycle, then we traverse the graph forming a *minimal* cycle containing that segment. This works as follows: For the given halfsegment, get the partner halfsegment (i.e. follow the edge). From the partner, go around that node to the *predecessor* in the counterclockwise order. Follow that edge, etc. As soon as the node of the initial halfsegment is reached again, a complete cycle has been found and its halfsegments can be marked as outer halfsegments.

This strategy works fine for the regions object in Figure 5-6(a) where it correctly determines the left face. However, in Figure 5-6(b) the cycle would also include the hole segments.

Vorausberechnungen für räumliche Objekte

Die Konstruktion eines regions-Objekts beinhaltet folgende Schritte:

- Füge Halbsegmente in einen AVL-Baum ein.
- Verknüpfe Halbsegmente in Sortierfolge (per Inorder-Durchlauf) und berechne die *bounding box* (kleinstes umgebendes Rechteck, für Vorfilterungen von Operationen).
- Benutze *InsideAttribute*-Algorithmus, um *InsideAbove*-Attribut zu jedem Segment zu berechnen (Plane Sweep).
- Klassifiziere Zyklen: Zyklusnummer zu jedem Segment, Zyklusnummer des umgebenden Zyklus zu jedem Lochsegment (Plane Sweeps).
- Durchlaufe Liste aller Segmente und verknüpfe Segmente zu *cycles* und *faces*; berechne auch dafür *bounding boxes*.
- Berechne ggf. (oder speichere beim ersten Aufruf) weitere Größen wie Fläche, Umfang, Durchmesser.

analog für points- und lines-Objekte